

前田建設工業(株) 正会員 安井龍雄
 福井大学工学部〃 荒井亮彦
 京都大学工学部〃 太田秀樹

1. すなはち: 地盤の応力変形解析を行なう際に最も大きな問題となるのは、たゞこの地盤を弾性体とみる場合、弹性係数やポアソン比などの物性定数を推定することである。室内土質試験や現位置試験の結果から、工事着手前に地盤物性定数を正しく推定することには限界がある。このため、工事施工を進めながら、地盤や構造物の変位、応力をどう観測し、この観測データから地盤物性定数を推定し、この結果に基づいて施工を進めるところから、いかにも観測施工(現場計測工法)が広く行われている。観測施工においてFEMを利用するには、節点変位や要素応力の観測値から地盤物性定数を逆算して求めなければならない。本報では地盤を弾性体とみる場合にFEMと数理計画法に基づく地盤物性定数を合理的に推定する方法を検討する。

2. 問題の定式化と数值解析: 地盤の弾性係数E、ポアソン比νが未知であり、N個の変位とN個の応力が観測土中で与えられる。仮定したE、νの値に対するFEMによる節点変位u、要素応力の式が次式で計算される。 $u = K^{-1} \cdot F \quad \dots (1)$, $\sigma = D \cdot B \cdot u \quad \dots (2)$

ここで、K: 全体剛性マトリックス, F: 節点外力, D: 元カクマコマトリックス, B: 節点変位からひずみを計算するマトリックスである。最小二乗法的考え方によると、 $E \times \nu$ は次式で求められるはずである。

$$J = \sum_{i=1}^{N_d} (u_i - u_i^*)^2 + \sum_{i=1}^{N_s} (\sigma_i - \sigma_i^*)^2 \rightarrow \text{minimum} \quad (3)$$

ここで u_i^* , σ_i^* は変位、応力の観測値である。ただし E、νは次式を満足する必要がある。

$$E > 0, 0 < \nu < 0.5 \quad \dots (4)$$

式(3), (4)を定式化(E最適化問題)

式(3)の高精度非線形性のため解析的0.2

以下解かれていたが、共役勾配法による

収束計算を行なう。収束計算に必要な

勾配由次式で与えられる。

$$\begin{aligned} \frac{\partial J}{\partial E} &= 2 \sum_{i=1}^{N_d} \left\{ (u_i - u_i^*) \left(\frac{\partial K^{-1}}{\partial E} \cdot F_i \right) \right\} \\ &+ 2 \sum_{i=1}^{N_s} \left\{ (\sigma_i - \sigma_i^*) \left(\frac{\partial D}{\partial E} \cdot B \cdot u \right)_i + (D \cdot B \left(\frac{\partial K^{-1}}{\partial E} \right)_i) \right\}, \quad \frac{\partial K^{-1}}{\partial E} = (L)^T \left(K^T \cdot \frac{\partial K}{\partial E} \cdot K \right)^{-1} \end{aligned} \quad \dots (5)$$

ここで(5)はベクトルの(面)要素を

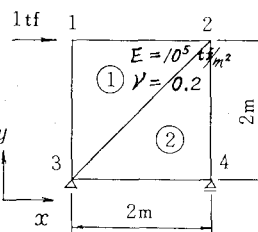


図-1 例1のモデル

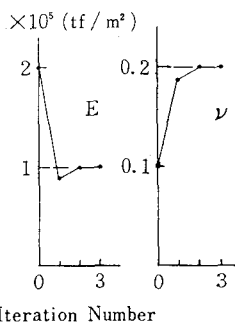


図-2 例1の収束状況

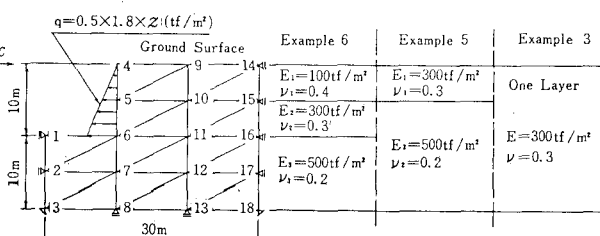


図-3 例2の収束状況

表4。上式中の $\frac{\partial K}{\partial E}$ は $\frac{\partial K}{\partial E}$ の重ね合せで与

られる。ここで K^T は要素剛性マトリックスである。

3. 対応例(すべて平面ひずみ状態) 例1(図

-1) はひずみ三角形要素とする。図-1中の彈

性定数に対する変位、応力の計算値を表-1, 2を

示す。表-1中の u_x, v_x が観測土中と一致し

E, νを求める問題を考える。この場合の $\frac{\partial K}{\partial E}$ は

	Example 6	Example 5	Example 3
Ground Surface			
Element			
1	$E_i = 100 \text{ tf/m}^2$ $\nu_i = 0.4$	$E_i = 300 \text{ tf/m}^2$ $\nu_i = 0.3$	One Layer
2	$E_i = 300 \text{ tf/m}^2$ $\nu_i = 0.3$		
3		$E_i = 500 \text{ tf/m}^2$ $\nu_i = 0.2$	$E = 300 \text{ tf/m}^2$ $\nu = 0.3$

図-4 例3, 5, 6 のモデル

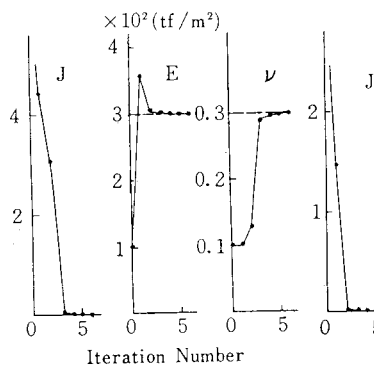


図-5 例3-ケース1

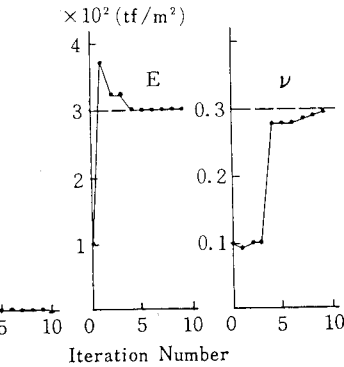


図-6 例3-ケース2

$$\frac{\partial K}{\partial E} = A \cdot B^T \cdot \frac{\partial D}{\partial E} \cdot B \quad \dots (6)$$

$$\frac{\partial D}{\partial E} = \frac{1-\nu}{(1+\nu)(1-2\nu)} \begin{bmatrix} 1 & -\nu & 0 \\ -\nu & 1 & 0 \\ 0 & 0 & \frac{1-2\nu}{2(1-\nu)} \end{bmatrix}$$

Δ : 三角形要素の面積であり

2. 図-2 Kの収束計算結果

を示す。例2(図-1)

表-2中の要素、2の O_x, O_y

の2が観測された $\times 17$,

未知の E, ν を求めた結果を

図-3 K示す。Boussinesq問題

題の鉛直応力が E, ν に独立な例のよう

K、応力は E, ν 支配的に影響される

ものではないため、観測応力が弹性

定数を逆算することは困難のようであ

る。例3(図-4)[ケース1] 観測変

位: $u_4, u_5, u_6, u_9, v_1, v_4, v_5, v_6, v_9,。結果: 図-5。$

[ケース2] 観測変位: $u_4, u_5, u_6, v_4, v_5, v_6$ 。結果: 図-6。

(図-7) [ケース1] 観測変位: $u_4, u_5, u_6, v_4, v_5, v_6$ 。結果: 図-8。

[ケース2] 観測変位: u_4, u_5, v_1, v_{14} 。結

果: 図-9。剛性の高い構造物を含む

場合には、観測変位を与える位置K注

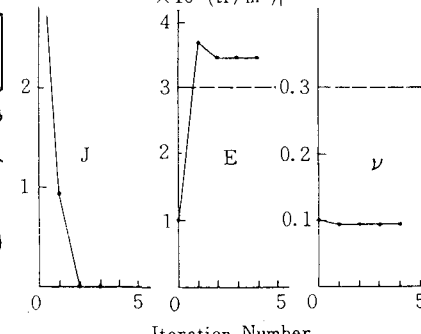


図-7 例4のモデル

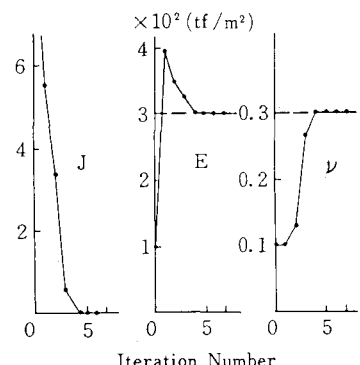


図-8 例4-ケース1

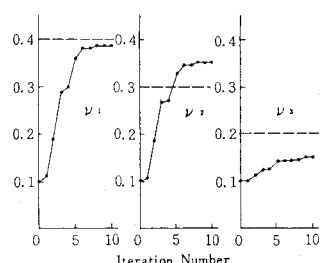
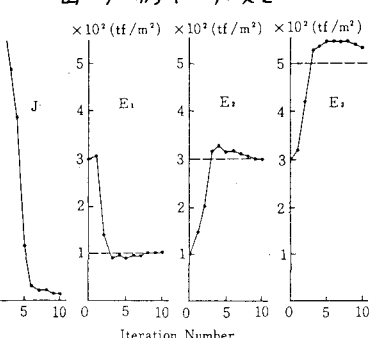


図-10 例5



図-11 例6

意する必要がある。例5(図-4) 観測変位: 例3-ケース1と同じ。結果: 図-10。例6(図-4) 観測変位: 例3-ケース1と同じ。結果: 図-11。第3層の E, ν を厳密に推定するには、観測変位がやや不足しているようである。

4. あとがき: 例1～例6の結果から明らかのように、バッフルの奥に注溝以下の本報の手法を実際地盤の物性定数推定に利用する見通しが得られた。数値解析に必要な計算量は土中で多く実用性の高い手法である。今後、実際問題への適用を検討したい。数値解析には東京大学、名古屋大学大型計算機センターを利用した。参考文献: 1) 岩井・錦見・太田, 第16回国土質工学研究発表会, pp. 809 (1980) 2) 高松義: プロセスシステム, 日刊工業 (1972)